

九州大学応用力学研究所 正員 溝田武人

1. まえがき 地上又は海中構造物のような非流線型物体が自然風や潮流の作用のもとにあるととき周囲の流れのレイノルズ数是比较的高い。このような非定常流れへの流体力学的取扱いには非粘性渦曳モデルが最も有効であると云われている。本研究は構造物の基本的断面形状の1/1である種々の断面比を有する角柱の空力弾性的不安定現象を上記の方法で取扱う目的を持つ。本報告では、角柱を単位円に等角写像する方法を使い求めた角柱まわりの非回転流れの中に非粘性ボテンシャル渦を導入し角柱の千個所の角にKuttaの条件を適用して新しい渦の強さ、およびその位置を求める方法を吟味する。そして実際に正方形(1/1)角柱の出発流れの段階の計算を行い、千個所の角から放出された渦のフローパターン、成長の様子、および強度の変化を示す。流れはすべて2次元の複素座標で取扱う。

2. 定式化 以下 $i = \sqrt{-1}$ とする。

2.1 等角写像および非回転流れ。図1に示すような角柱の外部無限領域を単位円のそれに1対1に対応させるためにSchwartz-Christoffelの等角写像の基¹⁾本式の各項を巾報数展開し積分を実行して次式を得る。

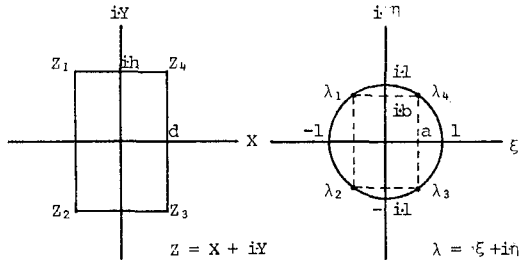


図1 物理平面-Z, 写像平面-λ

$$\begin{aligned} Z &= h\{\lambda + (1-2b^2)/\lambda - 2b^2(1-b^2)/(3\lambda^3) \\ &\quad - 2b^2(1-b^2)\cdot(1-2b^2)/(5\lambda^5) \\ &\quad - 2b^2(1-b^2)\cdot(1-5b^2+5b^4)/(7\lambda^7)\} \end{aligned} \quad \cdots (1)$$

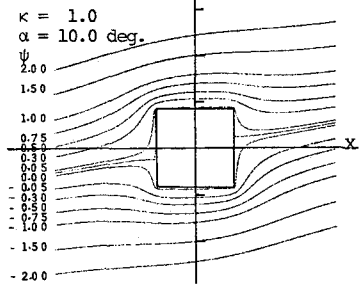
b は角柱断面比 $K = 2h/d$ を与え求めることとする。(1)式によると角における曲率半径は2つの2%程度残るが、この値は実験的に角柱の角を丸く加工して抗力係数を測定し、流れのレイノルズ数の依存性が現われたが、た曲率半径にはほぼ等しい。(1)式は $b=0.10$

$$Z = h(\lambda \pm 1/\lambda) \quad \cdots (2)$$

となる。各々の平板、90°平板を単位円に等角写像する関数に一致する。単位円まわりの非回転流れの流線を(1)式によって

1/1角柱のまわりの流れに等角写像した例を図

2. に示す。図中yは流れ角度の値であり、dは迎角 β 、 $d\beta =$



10°の場合を示す。図2. 1/1 角柱、非回転流れ

2.2 非粘性ボテンシャル渦の導入。2平面における渦の複素速度 $u_{1,j} - iv_{1,j}$ は

$$u_{1,j} - iv_{1,j} = dw/d\lambda|_{1,j} d\lambda/dz|_{1,j} \frac{-ik_1}{2\pi^2} \frac{f''(z_{1,j})}{f'(z_{1,j})} \quad \cdots (3)$$

である。ただし、 $1 (=1,2,3,4)$ は角の番号で渦の出生位置、 j は渦の出生順序、 w は複素速度度ボテンシャル、 k は渦の強さ、 $\alpha = \frac{1}{2}\beta$ (2)とする。以下 $\bar{\cdot}$ は入の complex conjugate、 T は時間、 U は一様流速、 $Re f$ はfの実部とする。また(4)式により無次元化を行う。

$$\begin{aligned} k^V &= k/U_0 h, \quad z^V = z/h, \quad (u^V - iv^V) = (u - iv)/U_0 \\ w^V &= w/h U_0, \quad T^V = U_0 T/h \end{aligned} \quad \cdots (4)$$

無次元化を示す記号²⁾を省略して(3)式を記述すると

$$\begin{aligned} u_{1,j} - iv_{1,j} &= [(e^{-ia} - e^{ia}/\lambda^2_{1,j})/C \\ &\quad + \sum_{l=1}^m \left\{ \sum_{j=1}^n \frac{ik_l}{2\pi^2} \frac{1}{\lambda_{1,j} - \lambda_{l,j}} - \sum_{j=1}^n \frac{ik_l}{2\pi^2} \frac{1}{\lambda_{1,j} - 1/\lambda_{l,j}} \right\}] \\ &\quad \times [\lambda_{1,j}^8 / (\lambda_{1,j}^8 (1-2b^2) \lambda_{1,j}^6 + 2b^2 (1-b^2) \lambda_{1,j}^4)] \\ &\quad + 2b^2 (1-b^2) (1-2b^2) \lambda_{1,j}^2 + 2b^2 (1-b^2) (1-5b^2+5b^4)] \\ &\quad - \frac{ik_1}{2\pi^2} \lambda_{1,j}^7 \left\{ -(1-2b^2) \lambda_{1,j}^6 + 4b^2 (1-b^2) \lambda_{1,j}^4 \right. \\ &\quad \left. + 6b^2 (1-b^2) (1-2b^2) \lambda_{1,j}^2 + 8b^2 (1-b^2) (1-5b^2+5b^4) \right\} \\ &/ [\lambda_{1,j}^8 - (1-2b^2) \lambda_{1,j}^6 + 2b^2 (1-b^2) \lambda_{1,j}^4, \\ &\quad + 2b^2 (1-b^2) (1-2b^2) \lambda_{1,j}^2 + 2b^2 (1-b^2) (1-5b^2+5b^4)^2] \end{aligned} \quad \cdots (5)$$

となる。ただし $C = \beta (0 \leq K \leq 1), \beta/k (K > 1)$ で β は単位円の半径1に対する角柱の高さ ($0 \leq K \leq 1$) 又は幅 ($K > 1$) を示すスケールファクターである。

2.3 Kuttaの条件。(3)式において $|dw/d\lambda|$ の値は

一般に写像特異点において無限大になる。従って $\frac{dw}{dx}$ の値が有限であれば、 $|w-i\alpha|$ は角において無限大になり物理的に不合理である。これを避けるために

$$\frac{dw}{dx}|_{\lambda_1, \lambda_2, \lambda_3, \lambda_4} = 0 \quad \cdots (6)$$

を与えることが一般的な kutta の条件である。(1)式は中波数展開法により得られた漸近的な写像関数であるの $\frac{dw}{dx}$ の値は中数を増加させるにつれて漸近的に無限大になる。本法でも(6)式を kutta の条件として採用する。そこで(5)式から、 $\frac{dw}{dx} = 0$ は(6)式となる。

$$\sum_{l=1}^4 k_{l,i} \left\{ \frac{1}{\lambda_l - \lambda'_{l,1}} - \frac{1}{\lambda_l - 1/\lambda'_{l,1}} \right\} = G(\lambda_l) \quad \cdots (7)$$

$$\text{ここで}, G(\lambda_l) = 2\pi i \cdot [(e^{-i\alpha} - e^{i\alpha}/\lambda_l^2) / C + \sum_{l=1}^4 \sum_{j=2}^m \frac{i k_{l,j}}{2\pi} \lambda'_{l,j} \cdot \left\{ \frac{1}{\lambda_l - \lambda'_{l,1}} - \frac{1}{\lambda_l - 1/\lambda'_{l,1}} \right\}]$$

$$l = 1, 2, 3, 4$$

とする。(7)式において $\frac{1}{2\pi} G(\lambda_l)$ は特異点に対応する入平面の半径における流速で、非回転流れとすばり吐き出された渦による誘導速度の和からなる。従って新しく導入すべき渦の強さ $k_{l,1}$ とその位置 $\lambda_{l,1}$ が(7)式を満足するように決定されれば kutta の条件は満たされる。しかし(7)式から判るように、 $k_{l,1}$ と $\lambda_{l,1}$ は unique には決定できない。そこで種類の仮定を設定する。(i) $\lambda_{l,1}$ を仮定する場合 … 新しく導入する渦の位置を4箇所の角近くの空間の1点に固定しておく方法で、この場合には(7)式から $k_{l,1}$ を求めることができる。(ii) $k_{l,1}$ を仮定する場合 … (7)式は $\lambda_{l,1}$ ($l=1, 2, 3, 4$) を未知数とする連立方程式となる。例えば図3に示すように、 $\lambda_{l,1}$ を解くと、特異点4に生ずる流速 $-\frac{i}{2\pi} G(\lambda_{l,1})$ 左、第1近似として強さ $k_{l,1}$ の渦の作用だけ打ち消すための、位置となり、それは中心が $\eta = \frac{b}{a}$ 上にある。

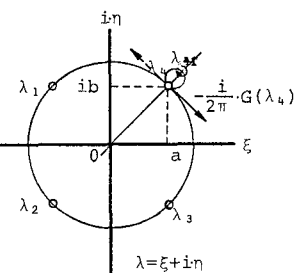


図3 Kuttaの条件

半径 $r = a / (a + Re[G(\lambda_{l,1})/k_{l,1}])$ の小さな円の周上で、卓 (a, b) 上を除くすべての点になる。

3. 数値計算 現在までに 1/1 角柱の出発流れの計算を行った。4箇所の渦発生点のうち、L.E.(前縁)の2箇所には kutta の条件(i)を適用し、原点と $\lambda_{1,1}, \lambda_{2,1}$ を結ぶ直線と小円の交点を $\lambda_{1,1}, \lambda_{2,1}$ (渦導入点)と

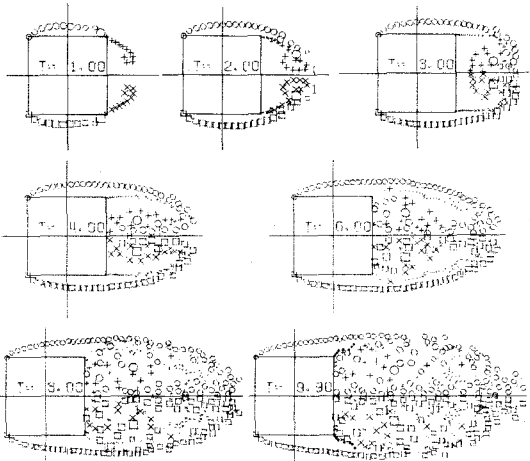


図4 1/1 角柱出発流れ、流れは左から右へ

仮定する。T.E. (後縁) の 2 値 所には kutta の条件(i)を適用し $\frac{L}{2H}$ 原点と $\lambda_{3,1}, \lambda_{4,1}$ を結ぶ直線上で $|\lambda_{3,1}| = |\lambda_{4,1}| = 1.025$ となる。を $\lambda_{3,1}, \lambda_{4,1}$ とする。計算 時間 (スラッシュ度) は $LT = 0.1$ とす

る。まず図4にフローパターンを示す。図中渦の印の大きさは渦の強さを示している。

T.E. やら吐き出された渦は早い段階から巻き込みを開始し、出発渦を形成する。渦が成長する様子を図5にまとめ示す。図中 L.E. から渦の先端までの距離である。L.E. やら出た渦は T.E. の先に

やがて追いつき、追い越す。T.E. やら出た渦は L.E. 伸びようとするが、L.E. やら出た渦に何度か抑止される。次に図6として、渦の強さの変化を示す。L.E. やら出た渦は初期の急激な変化の後にゆるやかに低下する。T.E. の渦の強さは、非常に小さな値になり、遂には負となつて逆流による渦の発生に到るようになる。 $(LT/H = 2.5)$

文献

- 1) 湊田武人, 土木学会西部支部, 52年度発表会講演集.
- 2) Delany, N.K. & Sorensen, N.E., NACA TN3038, 1953.
- 3) Clements, R.R., J.F.M., Vol. 57, Part 2, 1973.